

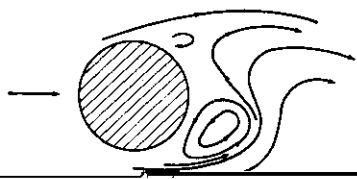
KAWASAKI STEEL GIHO

Vol. 22(1990) No.1

Design of Highway Light Pole with Resistance to Wind Vortex-

22 (1990) 1, 44-51

Design of Highway Light Pole with Resistance



3 照明柱の断面形状と渦励振

3.1 風洞実験

図3-1は、風洞実験によって得られた、各柱断面形状における風洞中で測定された

振幅・振動加速度分布の上位影響度を示す。図3-2は、各柱断面形状における

Table 1 Results of wind tunnel test (Octagonal pole)

Measured items	Oscillation mode Out-of-plane 1st mode	Out-of-plane 2nd mode
Frequency f (Hz)	2.82	7.13
Velocity in resonant state V (m/s)	3.8	9.0
Strouhal number S_s	0.16	0.17
Displacement amplitude at top of pole (mm)	22.7	5.7
Acceleration amplitude at top of pole (cm/s ²)	697	1 013

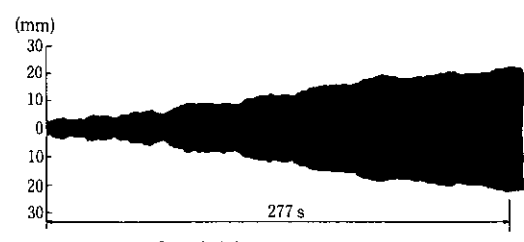




Table 3 Effect of cross-section of the pole on oscillation

Cross section	Nondimension	Maximum dis-
---------------	--------------	--------------

ある。

一七 物体の衝突性ベータ値 相手ノリ田口 五年級生高橋

Diameter of steel ball : 50.8 mm ϕ

いても、飛行機翼や工作機械を対象にこれまでに研究がなされている。このタイプの制振装置については、構造物に 1 サイクルの外力

Finished surface : #150



る。反発係数が小さいと衝突後の速度が小さくなるため、より大きい入力速度でないと同期運動しないことを示している。入力速度 ϕ とパラメータ C/ϕ の関係を直線近似したものを式(5)に示す。

$$C/\phi = 0.0030\bar{\phi} + 1.7 \quad (100 \leq \bar{\phi} \leq 800) \quad (5)$$

Table 5 Comparison between experimental and analysed response of octagonal pole oscillation

Oscillation mode	Out-of-plane 1st mode	Out-of-plane 2nd mode
	Experi- Analysed	Experi- Analysed

でも同期運動する傾向がある。

（写真） 同期運動による横浜港大橋の揺れ
（写真） 同期運動による横浜港大橋の揺れ

m の斜長橋であり、新しい横浜港のシンボルとしての役割をも果た

（写真） 同期運動による横浜港大橋の揺れ

6まとめ

基礎（あるいは橋梁の桁）との結合条件は非常に重要で、ダン